

胃癌术后单纯骨骼肌转移1例

向卉楠, 方媛, 方志红

向卉楠, 方媛, 方志红, 上海中医药大学附属市中医院肿瘤科 上海市 200071

向卉楠, 在读硕士研究生, 研究方向为中医药抑制恶性肿瘤基础研究。

基金项目: 上海市卫生局科研课题项目, No. 20134351; 上海市卫生和计划生育委员会中医药科研基金项目, No. 2014LP075A.

作者贡献分布: 向卉楠负责撰写文章; 方媛修改; 方志红审校。

通讯作者: 方志红, 主任医师, 200071, 上海市芷江中路274号 上海中医药大学附属市中医院肿瘤科. ffwf2001@126.com 电话: 021-56639828-2702

收稿日期: 2016-07-15
 修回日期: 2016-07-28
 接受日期: 2016-08-17
 在线出版日期: 2016-09-18

Skeletal muscle metastasis of gastric cancer after surgery: A case report

Hui-Nan Xiang, Yuan Fang, Zhi-Hong Fang

Hui-Nan Xiang, Yuan Fang, Zhi-Hong Fang, Department of Oncology, Shanghai Municipal Traditional Chinese Medicine Hospital, Shanghai 200071, China

Supported by: Research project of Shanghai Municipal Health Bureau, No. 20134351; Project of Shanghai municipal health and Family Planning Commission on traditional Chinese medicine scientific research, No. 2014LP075A.

Correspondence to: Zhi-Hong Fang, Chief Physician, Department of Oncology, Shanghai Municipal Traditional Chinese Medicine Hospital, 274 Middle Zhijiang Road, Shanghai 200071, China. ffwf2001@126.com

Received: 2016-07-15
 Revised: 2016-07-28
 Accepted: 2016-08-17
 Published online: 2016-09-18

Abstract

Metastasis of gastric cancer is mainly seen in lymph nodes and abdominal organs, and the skeletal muscle is infrequently affected. This paper reports a case of skeletal muscle metastasis of gastric cancer after surgery. We also discuss the pathogenesis, diagnostic method and prognosis of skeletal muscle metastasis of gastric cancer after surgery.

© The Author(s) 2016. Published by Baishideng Publishing Group Inc. All rights reserved.

Key Words: Skeletal muscle metastasis; Gastric cancer after surgery; Misdiagnosis

Xiang HN, Fang Y, Fang ZH. Skeletal muscle metastasis of gastric cancer after surgery: A case report. *Shijie Huaren Xiaohua Zazhi* 2016; 24(26): 3837-3840 URL: <http://www.wjgnet.com/1009-3079/full/v24/i26/3837.htm> DOI: <http://dx.doi.org/10.11569/wcjd.v24.i26.3837>

摘要

胃癌转移一般以淋巴转移和腹腔脏器转移为主, 较少侵及骨骼肌。本文报道了胃癌术后单纯骨骼肌转移1例, 探讨了胃癌术后骨骼肌转移的发病机理、诊断方法及预后转归。

© The Author(s) 2016. Published by Baishideng Publishing Group Inc. All rights reserved.

关键词: 骨骼肌转移; 胃癌术后; 误诊

核心提要: 胃癌术后骨骼肌转移常以腰疼起病, 临床表现缺乏特异性, 而且因为转移部位罕见, 较易被误诊, 增强磁共振、正电子发射计算机断层扫描-计算机断层扫描以及穿刺活检是

□背景资料
 胃癌术后骨骼肌转移临床罕见, 早期难发现, 容易误诊, 局部放疗能有效控制病灶, 改善症状, 提高生活质量。

□同行评议者
 徐阿曼, 教授, 博士生导师, 安徽医科大学第一附属医院胃肠外科

研究前沿
胃癌术后骨骼肌转移, 疾病发展已至晚期, 预后较差, 多采取个体化治疗, 可以结合原发肿瘤的部位及性质, 通过化疗控制转移瘤的生长. 转移瘤出现疼痛压迫症状的, 可根据转移部位选择局部放疗或者姑息手术的方法. 因此, 对该病的治疗尚需多学科合作, 积累更多的资料, 进行更深入的研究.

确诊的有效方法, 及早明确诊断, 进行局部放疗是该病的治疗基础.

向卉楠, 方媛, 方志红. 胃癌术后单纯骨骼肌转移1例. 世界华人消化杂志 2016; 24(26): 3837-3840 URL: <http://www.wjgnet.com/1009-3079/full/v24/i26/3837.htm> DOI: <http://dx.doi.org/10.11569/wcj.v24.i26.3837>

0 引言

胃癌转移途径以淋巴转移和腹腔种植转移为主, 本例患者胃癌术后3年以腰痠痛为主要症状起病, 通过正电子发射计算机断层扫描-计算机断层扫描(positron emission tomography-computed tomography, PET-CT)及左腰部骨骼肌穿刺活检, 确诊左腰部单纯骨骼肌转移. 现将1例胃癌术后骨骼肌转移的临床资料分析报告如下.

1 病例报告

患者李×, 男性, 76岁. 患者2011-09出现进食不畅, 行胃镜检查提示贲门占位. 2011-10-25患者行贲门癌切除+食管胃弓下吻合术, 术后病理(0000184905): 贲门部低分化腺癌, 部分印戒细胞癌, 侵浆膜, 淋巴管癌栓, 5 cm×3.2 cm×1 cm, “胃左动脉旁”淋巴结1+/1枚(1.2 cm×1 cm)见癌转移, 余LN(-); 酶标: CK5/6-, CD117+, CD5-, CEA+, 34BE12-, P53+, Vim-. 术后患者行化疗6 wk, 具体用药: S-1 60 mg 1 d 2次口服, 第1-14天, 奥沙利铂250 mg 静滴第1天, 每3 wk 1次后患者每3 mo定期复查. 2014-07患者出现胃脘隐痛不适, 对症处理后无缓解. 2014-09-18行PET-CT检查示: “贲门癌”术后, 目前未见明确复发征象. 左侧竖脊肌肿块, FDG摄取增高, 考虑恶性, 转移可能性大, 建议穿刺活检(图1). 2014-09-19患者行穿刺病理示: (左后胸壁活检)纤维及横纹肌组织, 其间见低分化腺癌浸润或转移, 以印戒细胞为主. 后患者行左侧竖脊肌肿块放疗, 总DT 50 Gy, 同时予替吉奥80 mg bid po d1-14化疗2 wk, 2015-06-11患者复查磁共振成像(magnetic resonance imaging, MRI)示左侧竖脊肌病灶缩小. 2015-07患者再次出现左腰部胀痛不适(图2), 2015-07-10复查PET-CT示: (1) 胃贲门癌综合治疗后, 吻合口区软组织影, FDG代谢未见异常, 考虑炎症可能大, 建议胃镜除外其他; 左侧腰大肌转移放化疗后, 现仍有肿瘤活

相关报道
胃癌术后骨骼肌转移罕见, 国内外公开报道少, 报道的焦点主要是骨骼肌转移瘤的诊断与鉴别诊断、治疗要点.

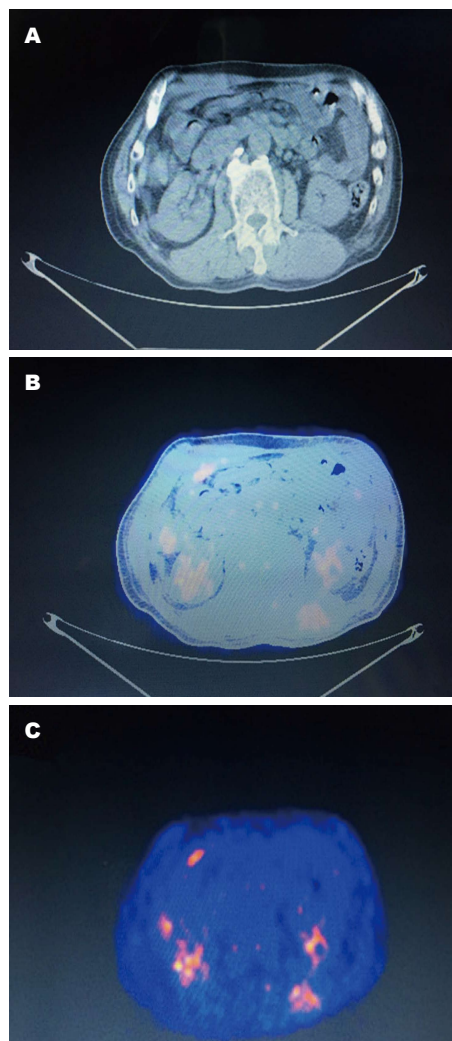
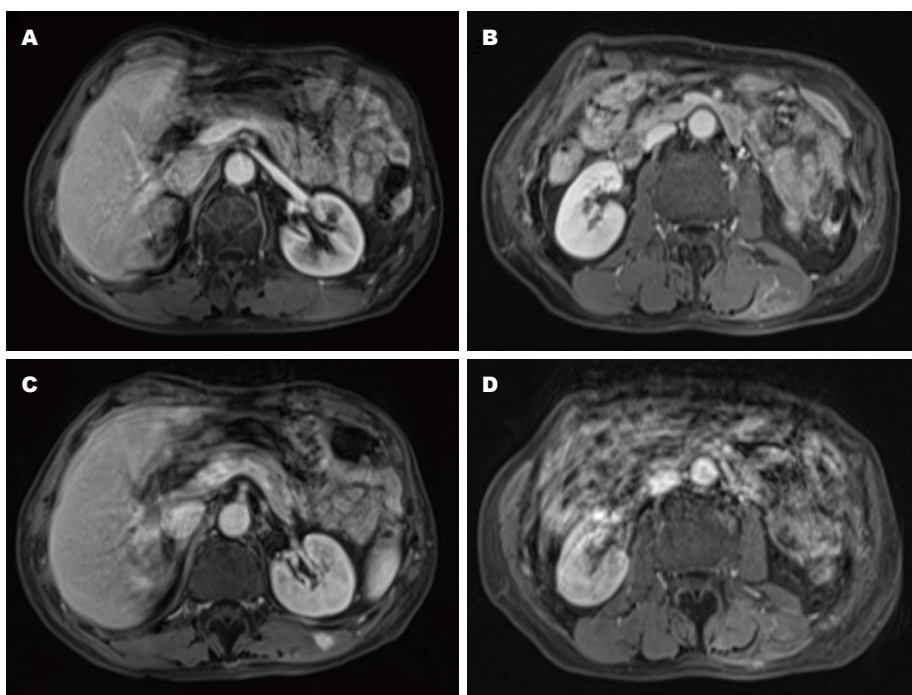


图 1 2014-09复查时PET-CT检查图像. A: CT图像示左侧竖脊肌占位; B, C: 左侧竖脊肌肿块, FDG摄取增高. PET-CT: 电子发射计算机断层扫描-计算机断层扫描.

性; 两侧肺门淋巴结转移(图3). 之后予希罗达1500 mg po d1-14化疗4 wk, 病灶未控制. 2016-02-22患者在CT引导下左侧腰大肌肿瘤¹²⁵I粒子植入术+腰大肌穿刺活检术, 术后病理(16-03621): “腰大肌穿刺组织”见印戒样细胞浸润, 倾向印戒细胞癌组织转移. 粒子植入术后患者腰部病灶得以控制. 患者目前一直没有内脏转移, 定期随访.

2 讨论

转移是影响胃癌病人预后的首要因素. 就其发生的频率依次是淋巴结转移、腹膜种植转移和血行转移. 进展期胃癌的淋巴结转移率约在65%以上, 早期胃癌出现淋巴结转移的几率明显低于进展期胃癌^[1,2]. 胃癌根治术后腹膜种植性转移约占40%-50%, 是影响预后的首要因素.



创新点
本例患者胃癌术后2年余以单纯骨骼肌转移起病, 不同于已有报道内脏转移合并骨骼肌转移, 临床医师应加强对该疾病的认识, 重视相关检查的诊断价值, 及早诊断, 及早治疗。

图 2 上腹部核磁共振检查, 骨骼肌转移治疗前后磁共振成像变化. A: 2014-11病灶转移时图像; B: 2014-11病灶转移时图像; C, D: 2015-06复查时图像。

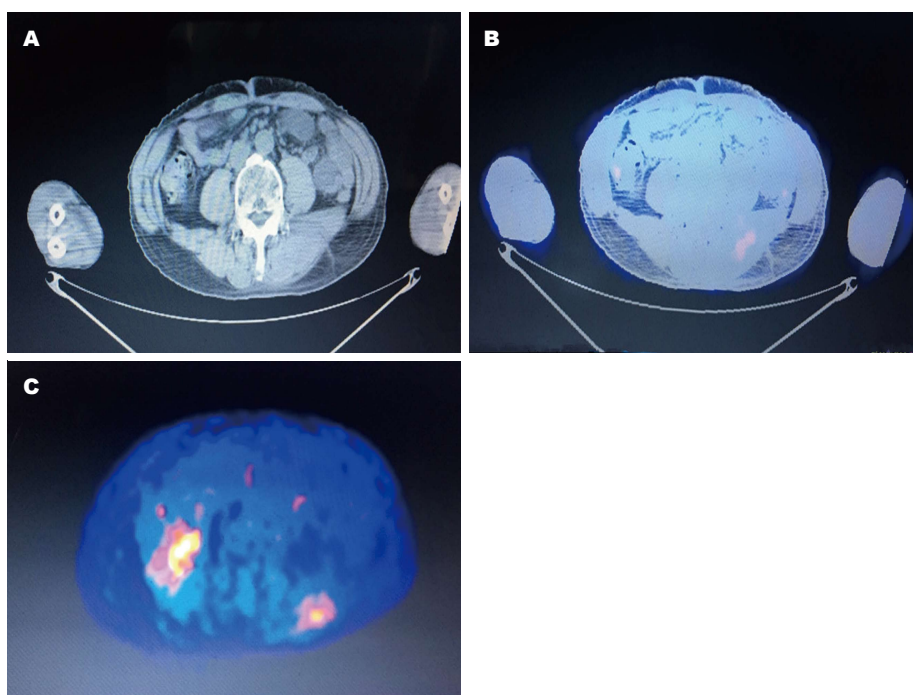


图 3 2015-07复查时PET-CT检查图像. A: CT图像示左侧腰大肌占位; B, C: 左侧腰大肌肿块, FDG摄取增高. PET-CT: 电子发射计算机断层扫描-计算机断层扫描。

应用要点
对于消化系肿瘤患者, 如出现不明原因的腰酸、胀痛症状, 临床医师应警惕骨骼肌转移瘤可能, 尽早行相关检查, 及时明确诊断并给予积极治疗, 以期改善患者预后。

腹膜转移病灶一旦形成, 即为临床转移, 治疗十分困难, 中位生存期5-7 mo. 胃癌的血行转移发生率仅次于淋巴结、腹膜转移, 约占20%, 临床确诊多属晚期, 预后极差. 多发生于肝、肺、骨等脏器^[3].

恶性肿瘤可扩散、转移至近乎机体所有器官, 但骨骼肌转移瘤罕见. 骨骼肌转移瘤占所有恶性肿瘤血源性转移的1%以下^[4,5]. 最常转移至骨骼肌的肿瘤是恶性淋巴瘤及白血病, 其他如肺、乳腺、胃肠道、泌尿生殖道是较

□名词解释

正电子发射计算机断层扫描-计算机断层扫描(PET-CT): PET-CT将PET与CT融为一体, 由PET提供病灶详尽的功能与代谢等分子信息, 而CT提供病灶的精确解剖定位, 一次显像可获得全身各方位的断层图像, 具有灵敏、准确、特异及定位精确等特点。

□同行评价

本文报道了1例胃癌术后单纯骨骼肌转移的病例, 虽然是少见病, 对减少误诊, 指导临床工作有重要的参考意义。

常见的原发部位. 导致骨骼肌转移罕见性的因素仍未被阐明, 目前认为, 可能与骨骼肌的生物机械运动, 微血管内皮细胞黏附特性以及微环境因素有关^[6].

胃癌骨骼肌转移, 本文检索到2篇报道, 其中1篇报道患者是有内脏转移的同时有骨骼肌转移^[7,8]. 本患者是单纯骨骼肌转移, 更加罕见. CT、MRI、正电子(PET)/CT、彩色多普勒超声等影像学检查是诊断骨骼肌转移瘤的主要方法, 本例患者除了有影像学检查, 还有穿刺病理, 诊断更加完善. 骨骼肌转移的治疗多采取个体化治疗, 本例患者采用局部放疗及粒子植入术, 局部病灶控制效果较好. 因患者一直没有内脏转移, 转移后生存期也已超过2年. 因此, 对于单纯骨骼肌转移的胃癌患者, 局部治疗能有效控制病灶, 提高生活质量。

3 参考文献

- 1 黄宝俊, 鲁翀, 徐莹莹, 郑新宇, 徐惠绵. 292例早期胃癌淋巴结转移规律的研究. 中华外科杂志 2007; 45: 192-195
- 2 Tong JH, Sun Z, Wang ZN, Zhao YH, Huang BJ, Li K, Xu Y, Xu HM. Early gastric cancer with signet-ring cell histologic type: risk factors of lymph node metastasis and indications of endoscopic surgery. *Surgery* 2011; 149: 356-363 [PMID: 20727560 DOI: 10.1016/j.surg.2010.07.006]
- 3 徐惠绵, 徐岩. 胃癌转移规律研究新进展. 中国实用外科杂志 2011; 31: 666-669
- 4 Ménard O, Parache RM. [Muscle metastases of cancers]. *Ann Med Interne (Paris)* 1991; 142: 423-428 [PMID: 1772183]
- 5 Chang PC, Low HC, Mitra AK. Colonic carcinoma with metastases to the tibialis anterior muscle--a case report. *Ann Acad Med Singapore* 1994; 23: 115-116 [PMID: 8185259]
- 6 罗成华. 骨骼肌转移肿瘤罕见性及其机理. 国外医学: 生理、病理科学与临床分册 1999; 19: 218-220
- 7 王健. 胃癌腰大肌转移一例. 山西医药杂志 2012; 41: 207
- 8 何俊玲, 龚道军, 姜明, 陈力. 以骨骼肌转移为首发表现的胃癌临床分析(附1例报道). 实用肿瘤杂志 2009; 24: 397-399

编辑: 马亚娟 电编: 李瑞芳



ISSN 1009-3079 (print) ISSN 2219-2859 (online) DOI: 10.11569 © 2016 Baishideng Publishing Group Inc. All rights reserved.

• 消息 •

《世界华人消化杂志》外文字符标准

本刊讯 本刊论文出现的外文字符应注意大小写、正斜体与上下角标. 静脉注射iv, 肌肉注射im, 腹腔注射ip, 皮下注射sc, 脑室注射icv, 动脉注射ia, 口服po, 灌胃ig. s(秒)不能写成S, kg不能写成Kg, mL不能写成ML, lcpm(应写为1/min)÷E%(仪器效率)÷60 = Bq, pH不能写PH或P^H, *H pylori*不能写成HP, T1/2不能写成t1/2或T_{1/2}, Vmax不能写Vmax, μ不写为英文u. 需排斜体的外文字, 用斜体表示. 如生物学中拉丁学名的属名与种名, 包括亚属、亚种、变种. 如幽门螺杆菌(*Helicobacter pylori*, *H.pylori*), *Ilex pubescens* Hook, et Arn.var. *glaber* Chang(命名者勿划横线); 常数K; 一些统计学符号(如样本数n, 均数mean, 标准差SD, F检验, t检验和概率P, 相关系数r); 化学名中标明取代位的元素、旋光性和构型符号(如N, O, P, S, d, l)如n-(normal, 正), N-(nitrogen, 氮), o-(ortho, 邻), O-(oxygen, 氧, 习惯不译), d-(dextro, 右旋), p-(para, 对), 例如n-butyl acetate(醋酸正丁酯), N-methylacetanilide(N-甲基乙酰苯胺), o-cresol(邻甲酚), 3-O-methyl-adrenaline(3-O-甲基肾上腺素), d-amphetamine(右旋苯丙胺), l-dopa(左旋多巴), p-aminosalicylic acid(对氨基水杨酸). 拉丁字及缩写in vitro, in vivo, in situ; Ibid, et al, po, vs; 用外文字母代表的物理量, 如m(质量), V(体积), F(力), p(压力), W(功), v(速度), Q(热量), E(电场强度), S(面积), t(时间), z(酶活性, kat), t(摄氏温度, °C), D(吸收剂量, Gy), A(放射性活度, Bq), ρ(密度, 体积质量, g/L), c(浓度, mol/L), φ(体积分数, mL/L), w(质量分数, mg/g), b(质量摩尔浓度, mol/g), l(长度), b(宽度), h(高度), d(厚度), R(半径), D(直径), T_{max}, C_{max}, Vd, T_{1/2} CI等. 基因符号通常用小写斜体, 如ras, c-myc; 基因产物用大写正体, 如P16蛋白.



Published by **Baishideng Publishing Group Inc**
8226 Regency Drive, Pleasanton,
CA 94588, USA
Fax: +1-925-223-8242
Telephone: +1-925-223-8243
E-mail: bpgoffice@wjgnet.com
<http://www.wjgnet.com>



ISSN 1009-3079

